2025年臺灣國際科學展覽會 優勝作品專輯

作品編號 030024

參展科別 化學

作品名稱 自組裝DNA探針於GNP@PANI電極以檢測miRNA

就讀學校 臺北市立第一女子高級中學

指導教師 何佳安

江慧玉

作者姓名 吳朵羚

關鍵詞 <u>DNA probe、miRNA、GNP@PANI電極</u>

作者簡介



我是北一女中第五屆科學班的吳朵羚。高一到高二,非常榮幸有機會能進到 臺大生化科技學系的實驗室進行專題研究,並參加台灣國際科展。這一路上發生 了很多,我也學到了很多,受了各方人員很多幫助,才能站上這個舞台。首先我 要向何佳安教授致謝,感謝您願意信任我、在我遇到問題時能引導我解決。接著, 我要感謝實驗室的林佩穎學姐,手把手的教導我實驗技術、和我討論實驗設計與 結果。最後,我要感謝北一女中的江慧玉老師,指導我撰寫報告書以及發表海報 與簡報時的技巧。感謝您們的指導,我才能順利完成這份作品。

2025 年臺灣國際科學展覽 研究報告

區別:北區

科別:化學科

作品名稱:自組裝 DNA 探針於 GNP@PANI 電極

以檢測 miRNA

關鍵詞: DNA probe、miRNA、GNP@PANI 電極

編號:

(編號由國立臺灣科學教育館統一填列)

自組裝 DNA 探針於 GNP@PANI 電極以檢測 miRNA

摘要

在許多疾病,如癌症、心血管等疾病中,微核醣核酸(microRNA,簡稱miRNA)的表現水平可作為診斷指標。現行檢測 miRNA 多使用 RT-qPCR,然而此技術成本高、操作繁瑣且耗時。本研究自行設計可抓取目標 miR-155 的 DNA 分子探針,透過化學合成與修飾將此探針接合在奈米金-聚苯胺(GNP@PANI)電極上,組裝出具靈敏度與特異性的 DNA 分子電極。實驗結果顯示:此自組裝探針電極具有良好的線性檢量關係,偵測極限可達 0.1 nM。在摻雜多種 miRNA 的樣品中,此電極仍具有極佳的專一性,回收率高達 101.5%。應用於含生物基質的尿液樣本,可不受背景干擾,其檢測差異僅約 0.4%。本研究採用電化學技術來檢測 miRNA,不但成本低、操作簡便,且可依據目標分子進行客製化設計,為新一代檢測技術開創前景。

Abstract

In many diseases, such as cancer and cardiovascular conditions, the expression levels of microRNA (miRNA) serve as valuable diagnostic indicators. Currently, miRNA detection commonly relies on RT-qPCR; however, this technique is costly, labor-intensive, and time-consuming. In this study, we designed a DNA molecular probe specifically for targeting miR-155. Through chemical synthesis and modification, we attached this probe to a gold nanoparticle-polyaniline (GNP@PANI) electrode, creating a highly sensitive and specific DNA molecular electrode. The experimental results demonstrate that this self-assembled probe electrode exhibits an excellent linear detection range, with a detection limit as low as 0.1 nM. In samples containing multiple types of miRNA, the electrode maintained remarkable specificity, achieving a recovery rate of up to 101.5%. When applied to urine samples containing biological matrices, the detection was unaffected by background interference, with a detection variation of only approximately 0.4%. This study utilizes electrochemical technology for miRNA detection, offering a lowcost, easy-to-operate method that can be custom-designed for specific target molecules, paving the way for a new generation of detection technologies.

壹、 前言

一、 研究動機

膀胱癌是泌尿系統中第二常見的癌症,且切除腫瘤之後仍有一定的復發率,因此患者需要定期追蹤與治療。目前醫療上多是採用侵入性的膀胱鏡檢查,或是進行尿液採樣的細胞學分析來追蹤;前者雖然診斷準確性高,卻有著侵入性的危險、費用高且患者較難接受等問題,後者雖然為非侵入性診療,但其診斷準確性約11~76%,且無法及早偵測到病灶較不顯著的惡性疾病,恐造成未及早發現而延遲治療的遺憾 (ref [9])。在文獻(ref [10])中研究發現:miR-155在膀胱癌患者的尿液檢測樣品中,會有過度表現的徵狀,此可作為治療前的評估標準;以 miR-155作為疾病診療前的生物評估指標,若能以安全且有效、省時的方式來檢測miR-155,應可提高診療評估基準,提升治療時效。

微核糖核酸(microRNA,簡稱 miRNA)是一段約 19~24 個核苷酸分子的非編碼 RNA,具有調節基因表現的功能,例如增殖、分化與凋亡,且會影響癌症的發生機制,miR-155 即為其中一種。現今的研究多採用 RT-qPCR,不但耗時且需較高的技術需求。因此,本研究希望能設計一個低成本、快捷且恆溫下可操作的檢測 miRNA 裝置:使用含氮鹼基配對原理,設計可雜合 miRNA 的 DNA probe,再利用石墨電極作為基底材質,修飾上導電聚合物,再以其還原力將奈米金吸附密合於聚合纖維上,最後採用鍵結方式接上優化後的 DNA probe,即成為用於檢測miRNA 的 DNA probe 電極。利用電化學儀器檢測 DNA probe 在雜合前、後的電流訊號差異,可作為定性、定量依據。

二、 研究目的及研究問題

- (一)設計可抓取目標 miRNA 的 DNA 探針分子
- (二)探討合成奈米金@聚苯胺(後續簡稱 GNP@PANI) 修飾電極之最佳條件
- (三)將 DNA 探針分子連接至 GNP@PANI 電極,確認其完整性
- (四)利用自行設計、自製的 DNA 探針分子,進行檢測 miRNA 之效能評估

貳、 研究方法或過程

一、 研究設備及器材

(一) 實驗藥品

藥 品	中文名稱	藥		中文名稱				
Aniline	苯胺	Hydrochl	oric acid	氫氯酸				
Chloroauric acid	四氯金酸	Ammoniu persulfate		過硫酸銨				
DNA probe	DNA 探針	Acrylami	de	丙烯醯胺				
Graphite oxide	氧化石墨	Sodium h	ydroxide	氢氧化鈉				
Tetramethylethyler (簡稱 TEMED)	ne diamine		四甲基	乙二胺				
SYBR TM Gold Nuc	cleic Acid Gel Stain		核酸凝	膠染料				
Tris(2-carboxyethy	zl)phosphine (簡稱了	ГСЕР)	三(羧乙	基) 膦				
6-Mercapto-l-hexa	nol (簡稱 MCH)		6-硫醇	基-1-己醇				
Bis-acrylamide			N,N'-亞	甲基雙丙烯醯胺				
Sodium dihydroger	n phosphate		磷酸二	氫鈉				
	各種緩衝溶	液及其組	成					
Phosphate buffered Na ₂ HPO ₄ \ KH ₂ PO	l saline (簡稱 PBS) D ₄	Buffer:	組成有 [NaCl、KCl、				
Sodium chloride	氯化鈉	Potassiun chloride	n	氯化鉀				
Sodium phosphate	磷酸氫二鈉	Potassiun Phosphate		磷酸二氫鉀				
Tris-Borate-EDTA	(簡稱 TBE) Buffer	·:組成有	Tris \ bo	oric acid \ EDTA				
Tris (hydroxymeth	yl) aminomethane	(簡稱 Tri	s) =	羟甲基胺基甲烷				
Ethylenediaminete	Ethylenediaminetetra acetic acid (簡稱 EDTA) 乙二胺四乙酸							
Boric acid 硼酸								
HEPES Buffer: 紅	且成有 NaCl、MgC	$Cl_2 \cdot Na_2HI$	PO_4					
4-(2-hydroxyethyl)-1-piperazineethanesulfonic acid HEPES								
Magnesium chloride								
microRNA:包含 miR-155、miR-182、miR-93、miR-210								

(二) 實驗儀器

儀 器	器材或設備
電化學分析儀	電磁攪拌板
聚合酶連鎖反應儀	掃描式電子顯微鏡
紫外線/可見光分光光譜儀	網版印刷石墨電極

電泳:間隔條、玻璃板、樣本梳、垂直電泳槽、電源供應器、鑄膠套件

二、 研究原理

(一) 實驗設計

研究目標 miR-155 為一段 23 個核苷酸長的 miRNA,其序列為 5'-UUA AUG CUA AUC GUG AUA GGG GU -3',如圖 3-1 示意。在人體中,miR-155 與許多方面的身體機能有關,例如如免疫反應與癌症發展。



圖 3-1 miR-155 之序列 (自繪)

含氮鹼基之間,如腺嘌呤(A) 與胸腺嘧啶 (T)、鳥嘌呤 (G) 與胞嘧啶 (C),可藉由氫鍵作用力相互配對。運用這個配對原理,發想並先設計出可與目標 miRNA 互補配對的單股 DNA probe,運用此 DNA probe 來捕捉目標 miRNA。

實驗檢測及定量的響應方式是採用電化學法。將自創定製化的DNA probe,其探針分子的 5'端接上亞甲藍分子,3'端則接上具有巰基(-SH),使其可接在披覆有奈米金的修飾電極上。如圖 3-2,在檢測操作之前,電極上的 DNA probe 形成髮夾彎構型,當 DNA probe 分子與目標 miRNA 結合時,其構型發生變化,因而改變亞甲藍分子與電極之間的距離,進而產生電化學訊號的變化,藉此電流訊號的差異可判斷或量化檢測 miRNA 之效能。

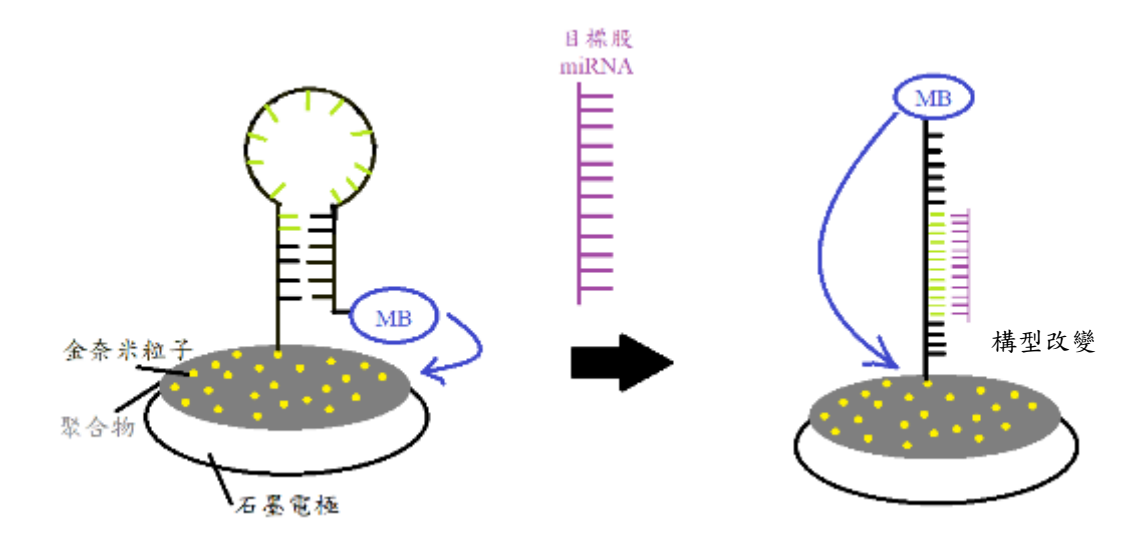


圖 3-2 電化學 DNA probe 電極檢測原理示意圖 (自繪)

(二) 電化學三電極系統

本實驗採用電化學三電極系統的網版印刷電極。如圖 3-3,此電極的基底材料為碳材石墨 (多為經處理過的氧化石墨),在此孔洞分列工作電極 (Working Electrode,簡稱 WE)、輔助電極 (Counter Electrode,簡稱 CE)以及參考電極 (Reference Electrode,簡稱 RE)。進行檢測時,WE 與 CE 連接成迴路,且主要反應發生在 WE 區域;RE 通常有數種,較常使用 Ag/AgCl 作為參考電極,其相對於 SHE(標準氫電極)的電位為 0.197 V。為了優化自創 DNA probe 的檢測效能,本研究會在 WE 上進行一系列化學修飾,並探討此修飾電極的電化學性質。



圖 3-3 網版印刷石墨三電極(自繪)

(三) 修飾電極

查閱文獻 (ref [11]) 得知:目前檢測 miRNA 的電化學電極多是採用黃金箔片,或是鍍上奈米金粒子(Gold nanoparticle,簡稱 GNP,);然而,直接使用黃金箔片電極不但成本較高,且在石墨電極直接鍍上金材後,此電極檢測表現不夠穩定、效能不佳,因此本研究設計先以導電聚合物修飾於石墨電極上,再利用其還原性基團,與含金離子溶液反應後,使奈米金可披覆沉積於電極表面,此方式可達到穩定電極表面能的功效,並製得 GNP@聚合物修飾電極,如圖 3-4 示意。



圖 3-4 GNP@聚合物之修飾電極示意圖 (自繪)

三、研究架構

實驗依據鹼基配對設計適合的 DNA 探針分子,先以電泳分析確認自 行設計之探針的可行性,再進一步研究化學修飾電極的條件;從合成聚苯 胺為起點,再利用其還原力產生奈米金粒子,完成電化學效能佳的修飾電 極。結合自行設計的 DNA 探針分子與自製的修飾電極,完成檢測裝置並 進行效能評估,實驗設計流程如下圖 3-5。

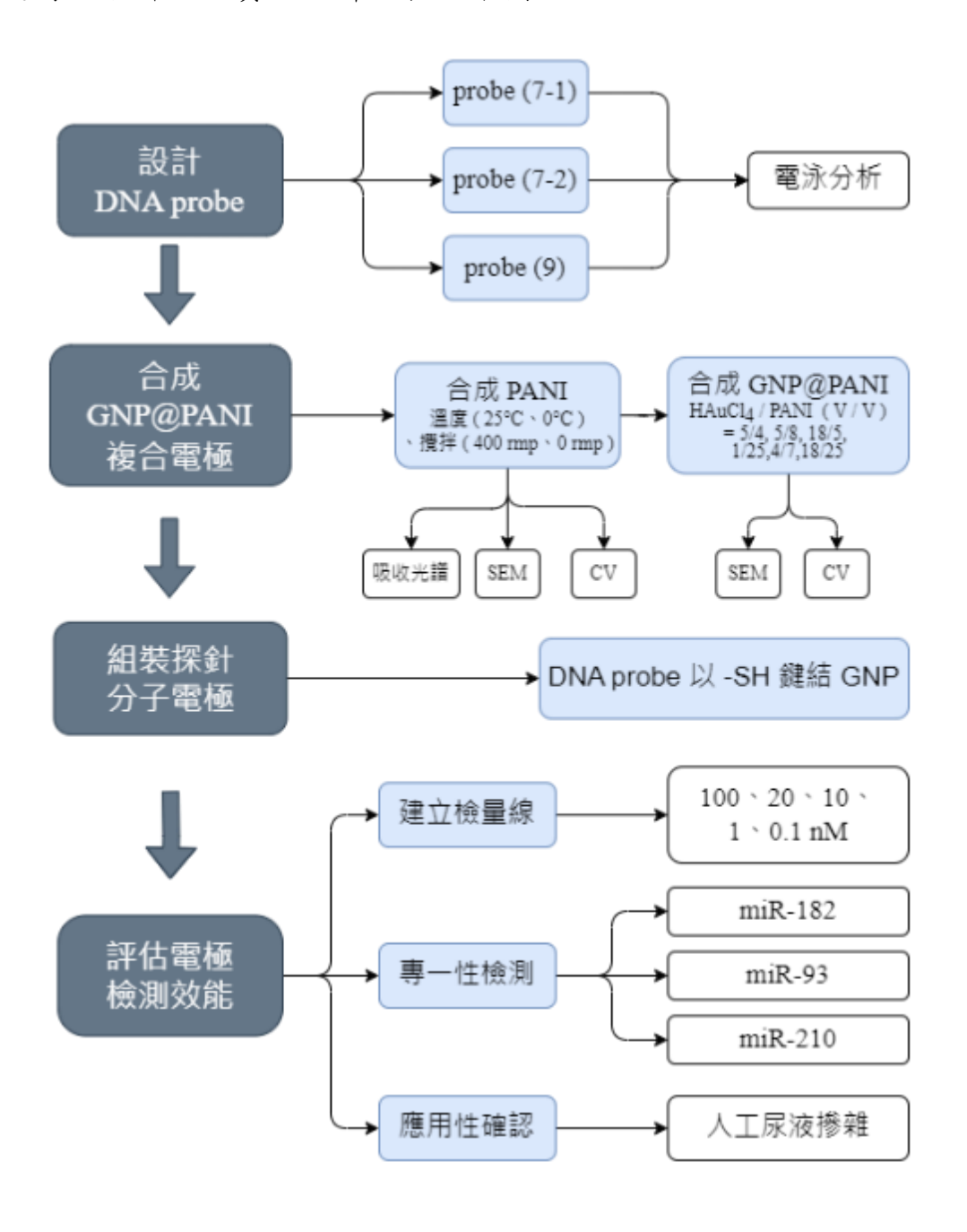


圖 3-5 實驗流程圖 (自繪)

四、 研究方法與步驟

(一) 設計 DNA probe 分子

1. 依據 miR-155 的序列,先設計 probe (7-1);再探討改變 probe 與 miR-155 連接之位置,設計出第二款 probe (7-2)。此外,改變此探針基部鍵結鹼基對的數目,改以 9 對鹼基配對的 probe (9)。下列圖 3-6 為此三款設計 DNA probe 的示意圖。

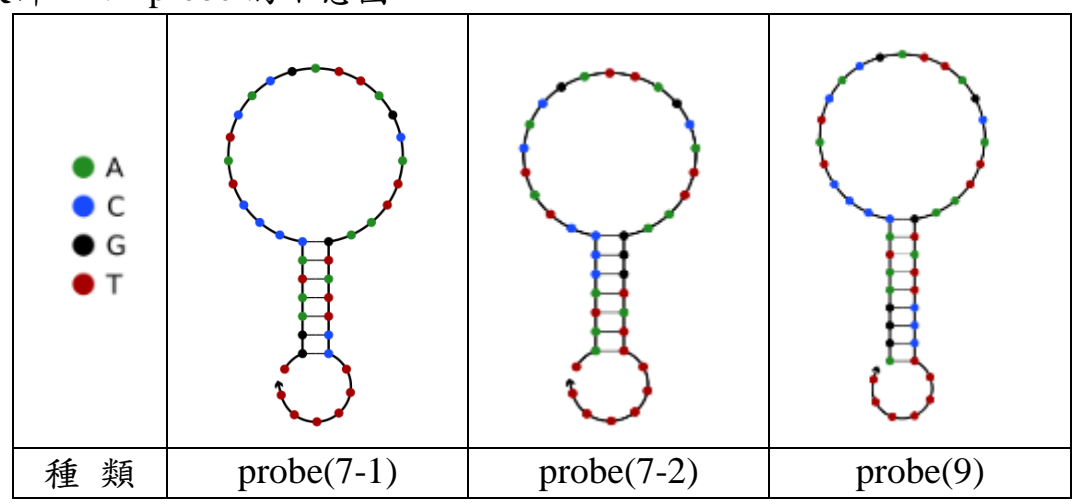


圖 3-6 設計 DNA probe 結構示意圖 (自繪)

2. DNA probe 電泳分析

- (1) 採用 DNA 電泳分析方法,設計如下表中各組實驗條件,探討三款 DNA probe 分子抓取目標物 miR-155 之效能。
- (2) 將 DNA probe 加熱後,再經冷卻 1 小時,使其形成髮夾彎結構,並以 表格內條件使 miR-155 與 DNA probe 反應 1 小時。
- (3) 以 0.5X TBE buffer、15%聚丙烯醯胺,在 80 V 下進行 100 分鐘的電泳 試驗。之後在 1X SYBR Gold 中浸泡膠體 10 分鐘,取出,將膠體照射 紫外線觀察結果。
- (4) 下表中第 1 組為目標股 miR-155,第 2、3、4 組為純粹的 probe (7-1)、 probe (7-2)及 probe (9)。第 5~7 組為 probe (7-1)、probe (7-2)及 probe(9) 在 PBS 中與 miR-155 反應的組別。第 8~10 組則是 HEPES 的反應組。

	1	2	3	4	5	6	7	8	9	10
miR-155	3	0	0	0	3	3	3	3	3	3
$1\mu M$, (μL)	3	U	U	U	3	3	5	3	3	7
probe (7-1)	0	2	0	0	2	0	0	2	0	0
$1\mu M$, (μL)	U		U	0	2	U		2	U	U
probe (7-2)	0	0	2	0	0	2	0	0	2	0
1μM , (μL)	0	0	2	0	U	2	0	U	2	0
probe (9)	0		0	2	0	0	2	0	0	•
1μM , (μL)	0	0	0	2	0	0	2	0	0	2
PBS (μL)	7	8	8	8	5	5	5	0	0	0
HEPES (μL)	0	0	0	0	0	0	0	5	5	5

3. probe(7-1)與不同濃度 miR-155 的電泳分析

- (1) 進一步使用 probe(7-1)與 miR-155 進行電泳分析,實驗條件如下表。
- (2) 下表中的 3'組是使 miR-155 與 probe(7-1)完全反應的控制組
 (Control, 簡稱 C);第 2'~5'組分別為定量的 probe(7-1)與 200 μM、100 μM、50 μM 與 25 μM miR-155 反應的實驗組。第 6'組為純粹的 miR-155、第 7'組為純 probe (7-1)。

	1'	2'	3'(C)	4'	5'	6'	7'
probe (7-1)	0	2	2	2	2	2	2
$1\mu M$, (μL)	U	2		2	2	2	2
miR-155	2	0	2	2	0	0	0
1μM, (μL)	2	0	2				U
miR-155	0	0	0	0	2	0	0
$0.5 \mu M$, (μL)	U	U					U
miR-155	0	0	0	0	0	2	0
0.25M , (μL)	U	Ü		U	U		0
miR-155	0	0	0	0	0	0	2
$0.125 \mu M$, (μL)	U	0 0	U	U	U		2
HEPES (μL)	8	8	6	6	6	6	6

(二) 製備修飾電極

- 1. 苯胺的聚合反應
 - (1) 取 0.3 mL 苯胺與 9.7 mL、1.0 M HCl 混合,配製為溶液 A。稱取 0.366 g APS,以 1.0 M HCl 配製成 10 mL 溶液,標示為溶液 B。
- (2) 將 A、B 兩溶液快速混合,分別控制攪拌與否及溫度進行實驗,交叉組成四個實驗組(如下表),反應時間皆為30分鐘。

實驗組	甲	2	丙	丁	
實驗條件	攪拌+25℃	不攪拌+25℃	攪拌+0°C	不攪拌+0℃	

- (3) 以掃描式電子顯微鏡觀察製備所得之聚合物的纖維結構。
- (4) 分別將不同實驗條件的產物進行凍乾,以乾燥粉狀保存。

2. 聚苯胺-石墨修飾電極

- (1) 取 2 mg 的實驗組(甲)條件下所得之聚苯胺乾燥粉末,將其溶於 1 mL、1.0 M HCl(aq)中,配製成實驗組(甲)的聚苯胺溶液。
- (2) 同上述操作步驟,得到實驗組(乙)、實驗組(丙)、實驗組(丁)的聚苯胺溶液。
- (3) 先吸取實驗組(甲)的聚苯胺溶液 5 μL 置於網版印刷電極系統的工作電極上。再將其置於烘箱中,以 50°C 加熱 20 分鐘後,靜置冷卻。使用去離子水清洗上述電極,並以氮氣吹乾。同上述步驟操作,得到實驗組(乙)、實驗組(丙)、實驗組(丁)的聚苯胺-石墨修飾電極。以交流阻抗分析 (AC Impedance, IMP) 測量其電阻,再以循環伏安法 (Cyclic voltammetry,簡稱 CV) 進行氧化還原電流之檢測。

3. GNP@PANI 複合電極

- (1) 將 2 mg 實驗組(乙)之聚苯胺溶於 1 mL、1 M HCl(aq)中,配製聚苯胺溶液
- (2) 採用不同比例將聚苯胺溶液與 1M HCl(aq)混合 後,在攪拌下緩緩滴入 0.1 M HAuCl₄(aq),並使其 反應 2 小時。此過程需不斷攪拌,確保反應完全。



GNP@PANI 溶液 (作者自攝)

(3) 各實驗組比例如下表所示:

	聚苯胺溶液 (mL)	HAuCl ₄ (mL)	HCl (mL)
實驗組(A)	0.2	0.25	0.55
實驗組(B)	0.4	0.25	0.35

- (4) 將表中反應後的溶液以8000 rmp離心10分鐘,抽取0.8 mL上清液,並加入同量去離子水,重複此操作兩次。吸取上表(A)組5μL的產物置於三電極系統的工作電極上,再將其置於烘箱中,陰涼風乾18小時。同前述操作步驟,製得(B)組GNP@PANI複合電極。
- (5) 以掃描式電子顯微鏡觀察上述實驗條件製備所得之聚合物纖維結構; 再以 CV 法測試兩組複合電極的氧化還原電流。
- 4. GNP@PANI 複合電極保存測試
 - (1) 將合成好的 GNP@PANI 複合電極放入乾燥箱保存
 - (2) 分別在合成當日、三日後及七日後進行 CV 測試。

(三) 製備 DNA probe 電極

- 1. 組裝探針電極
 - (1) 如下表配製各項溶液;將 probe solution 靜置 30 分鐘,以活化 probe(7-1)。

溶液名稱	組成				
probe solution	以 HEPES 為溶劑,配製 1.0 μM probe(7-1)與				
probe solution	5.0 mM TCEP				
blocking buffer	100 nM NaCl 與 10mM Na ₂ HPO ₄ / NaH ₂ PO ₄				
MCH solution	以 HEPES 為溶劑,配製 1.0 mM MCH				
electrolyte solution	50 nM NaCl 與 5mM Na ₂ HPO ₄ / NaH ₂ PO ₄				

- (2) 取 6 μL 的 probe solution 置於 GNP@PANI 複合電極上, 靜置 90 分鐘 使其反應。再以 blocking buffer 清洗電極四次,接著置放 6 μL MCH solution 於電極表面,靜置 1 小時,以去除未連接的 probe (7-1)。
- (3) 後續再以 blocking buffer 清洗電極表面四次,完成 DNA probe 電極。

2. 建立檢量線

- (1) 以 electrolyte solution 為電解液,施以方波伏安法 (square wave voltammetry,簡稱 SWV) 進行檢測,讀取電極上亞甲藍分子的還原電流訊號 I_0 。
- (2) 以 HEPES 為溶劑,依序稀釋或配製 0.1、1.0、10、20、100 nM 的 miR-155 溶液。
- (3) 將 6 μL miR-155 溶液置於 DNA probe 電極上, 靜置使其反應 45 分鐘; 再以 blocking buffer 清洗後,採用 electrolyte solution 為電解液施以 SWV 進行檢測。
- (4) 重複進行上述實驗三次 (三重複),確認 DNA probe 電極的健側效能 與再現性。

(四)DNA probe 電極的專一性測試

- 1. 不同種類 miRNA 的檢測
- (1) 選擇不同種類的 miRNA,如 miR-210、miR-93、miR-182 以及目標 miR-155。配製上述各種 miRNA 溶液如下表。
- (2) 表中除了目標 miR-155 外,其他 miRNA 分子的濃度皆較抓取目標 miR-155 高了 5 倍,藉以鑑識、確認電極的辨識及抓取能力。

組別	[miR-210]	[miR-93]	[miR-182]	[miR-155]	Blank
miRNA 種類	miR-210	miR-93	miR-182	miR-155	
[miRNA] (nM)	500	500	500	100	0

- (3) 取表中各溶液 $6\,\mu$ L,滴加在 DNA probe 電極上靜置 $45\,\%$ 分鐘;後續同樣以 SWV 檢測各組電流訊號 I_n 。
- (4) 重複進行上述實驗三次,確認反應條件的可重複性。

2. 摻雜測試

(1) 選用 miR-182 與目標 miR-155 分別配製下列溶液,比例如下表。

組別	_	=	Ξ	四
[miR-155] (nM)	100	50	0	0
[miR-182] (nM)	0	50	100	0

- (2) 取上表中的溶液各 6μL, 滴在 DNA probe 電極上靜置 45 分鐘;後續 同樣以 SWV 檢測各組電流訊號 I_n。
- (3) 重複進行上述實驗三次,確認反應條件的可重複性。

(五)人工尿液掺雜試驗

 按下表條件配製溶液,其中 pool 是指含有[miR-210]、[miR-182]、 [miR-93]各 100 nM。

組別	1	2	3	4
miRNA	miR-155 (100 nM)	pool	miR-155 (100 nM)	pool
背景環境	HEPES	HEPES	Artificial urine	Artificial urine

- 2. 取各溶液 6μL,分別滴在 DNA probe 電極上靜置 45 分鐘;後續同樣 以 SWV 檢測各組電流訊號 I_n。
- 3. 重複進行上述實驗三次,確認反應條件的可重複性。

參、 研究結果與討論

一、自行設計的三款 DNA probe 電泳分析

實驗將設計好的 DNA probe 分子依據表 4-1,進行電泳分析檢測。

	1	2	3	4	5	6	7	8	9	10
miR-155 1μM , (μL)	3	0	0	0	3	3	3	3	3	3
probe (7-1) 1μM , (μL)	0	2	0	0	2	0	0	2	0	0
probe (7-2) 1μM , (μL)	0	0	2	0	0	2	0	0	2	0
probe (9) 1μM , (μL)	0	0	0	2	0	0	2	0	0	2
PBS (μL)	7	8	8	8	5	5	5	0	0	0
HEPES (uL)	0	0	0	0	0	0	0	5	5	5

表 4-1 三款 DNA probe 分子的電泳設計

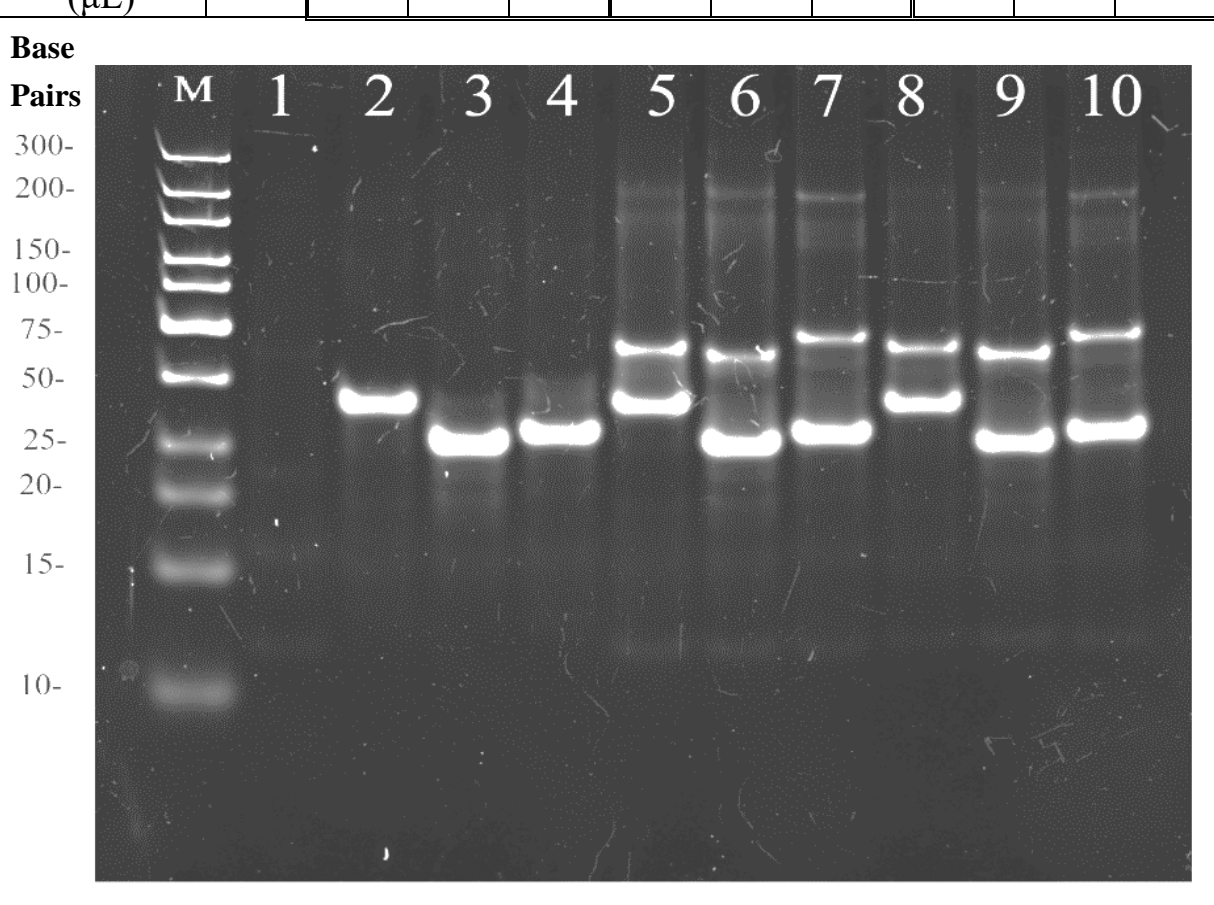


圖 4-1 不同條件下三種 DNA 探針之電泳分析圖 (實驗結果 作者自攝)

表 4-1 中,"1"表示 miR-155, "2~4"組分別為三款 DNA probe, "5~7"組為三款 DNA probe 於 PBS 中與 miR-155 反應的實驗組, "8~10"組為三款 DNA probe 於 HEPES 中與 miR-155 反應的實驗組。此實驗的電泳結果如圖 4-1。

- (一)觀察實驗電泳圖,實驗"5~7"、"8~10"兩個實驗組皆顯現雜合股,可得知三款 DNA probe 不同緩衝溶液中皆具有抓取目標物 miR-155 的能力。
- (二)進一步定量分析電泳訊號的亮度。進一步探討探針抓取 miR-155 之檢 測效能,計算式如下;各組探針效能如表 4-2。

探針效能(%) =
$$(1 - \frac{g \otimes a(5.6.7.8.9.10) + 探針訊號亮度}{$$
對應(2.3.4)探針訊號亮度

1	. 12 111	TI proce 1x	X 1// 1 11111 1	22 - 1/(2)	<i>></i>	
組別	5	6	7	8	9	10
探針效能(%)	16	21	8	39	32	15

表 4-2 DNA probe 檢測 miR-155 之探針效能

- 1. 比較不同種類的緩衝溶液,三款 DNA probe 在 HEPES buffer 的抓取 效果較佳。由於 HEPES buffer 中含有鎂離子使 DNA 探針較穩定,不 易形成其他構型,因此抓取 miRNA 具有較佳的能力。
- 2. 實驗添加的 mir-155 與 DNA probe 莫耳數相等,在電泳分析確認探針 效能後,可看出與目標股 miR-155 反應後,可知:

probe(7-1) > probe(7-2) > probe(9)

顯示 probe(7-1) 在 HEPES buffer 下對 miR-155 具有較佳的抓取能力,後續將繼續探討此部分。

二、probe(7-1)與不同濃度 miR-155的電泳分析

由於 probe (7-1)在 HEPES 中對於 miR-155 具有較佳的抓取能力,因此進行表 4-3 的實驗內容。

	1'	2'	3'(C)	4'	5'	6'	7'
probe (7-1) 1μM , (μL)	0	2	2	2	2	2	2
miR-155 1μM , (μL)	2	0	2	2	0	0	0
miR-155 0.5μM , (μL)	0	0	0	0	2	0	0
miR-155 0.25M , (μL)	0	0	0	0	0	2	0
miR-155 0.125μM , (μL)	0	0	0	0	0	0	2
HEPES (μL)	8	8	6	6	6	6	6

表 4-3 probe(7-1)與不同濃度之 miR-155 的電泳條件

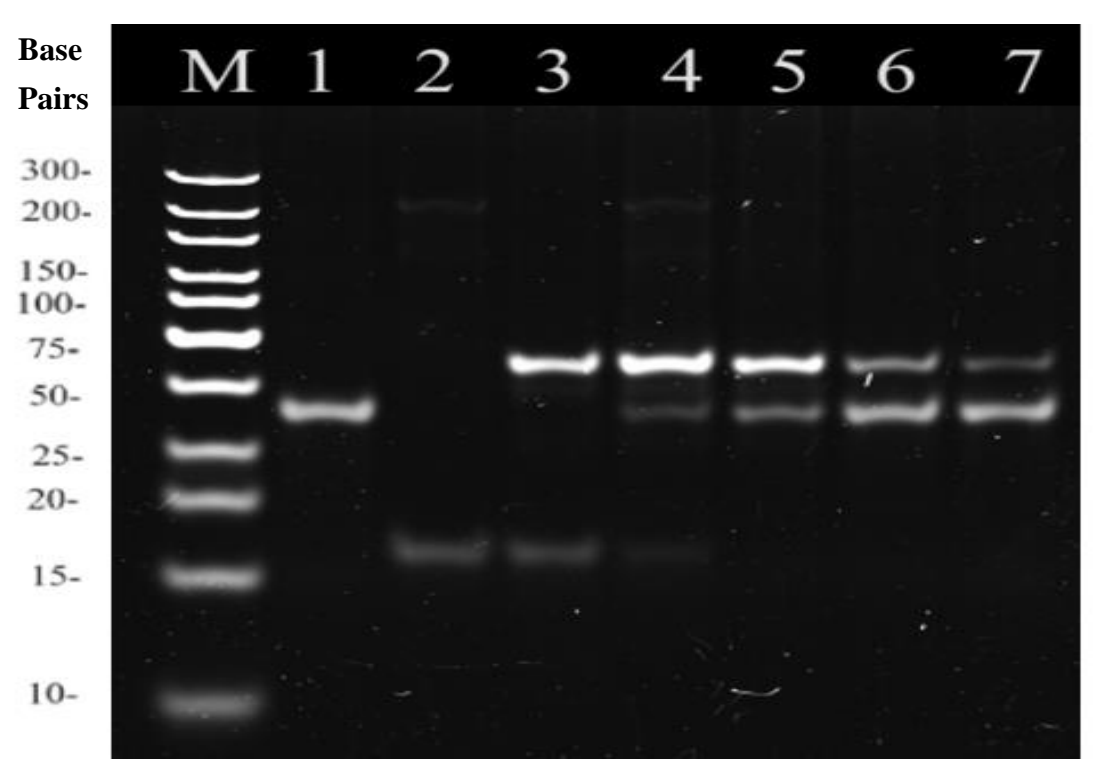


圖 4-2 探針(7-1)與 miR-155 之電泳分析圖 (實驗結果 作者自攝)

- (一)表 4-3 中「1'」為純 probe(7-1)、「2'」純之 miR-155 空白組,「3'」 為控制組,使 probe(7-1)完全與目標物雜合。「4'~7'」則是等量 probe(7-1)分別與不等濃度之 miR-155 反應的實驗組。
- 1. 由電泳分析結果可看出,實驗組 4'~7'皆有表現出分子量較大的雜合股訊號,顯示 probe (7-1)的確對於不同濃度的 miR-155 都具有抓取能力,只是在第 6'、7'兩組的訊號非常接近,顯示其濃度限制。
- 2. 進一步比較訊號峰亮度,以「3'」控制組基準,比較實驗組中雜合股的訊號強度與完全反應之控制組的相對強度,可得知其雜合百分率,計算式如下,各組數值如表 4-4。

表 4-4 probe(7-1)與不同濃度 miR-155 反應訊號比值結果

組別	4'	5'	6'	7'
雜合率 (%)	83	52	14	11

- 3. 由於第 4'~7'組為 miR-155 濃度逐漸降低,可見雜合股訊號漸弱, 在定性分析上可做為判斷。
- 4. 從電泳分析結果,檢測訊號與目標物濃度未成比例,且 miR-155 的 偵測極限只有 21 nM,無法進行濃度更低的微量檢測,因此後續將 改以電化學檢測,將 DNA probe 接於修飾電極上製成 DNA probe 檢測電極。

三、 聚苯胺-石墨電極

- (一) 聚苯胺的合成與鑑定
 - 1. 依據實驗設計表 4-5。完成苯胺聚合後,進行吸收光譜的檢測及比對。

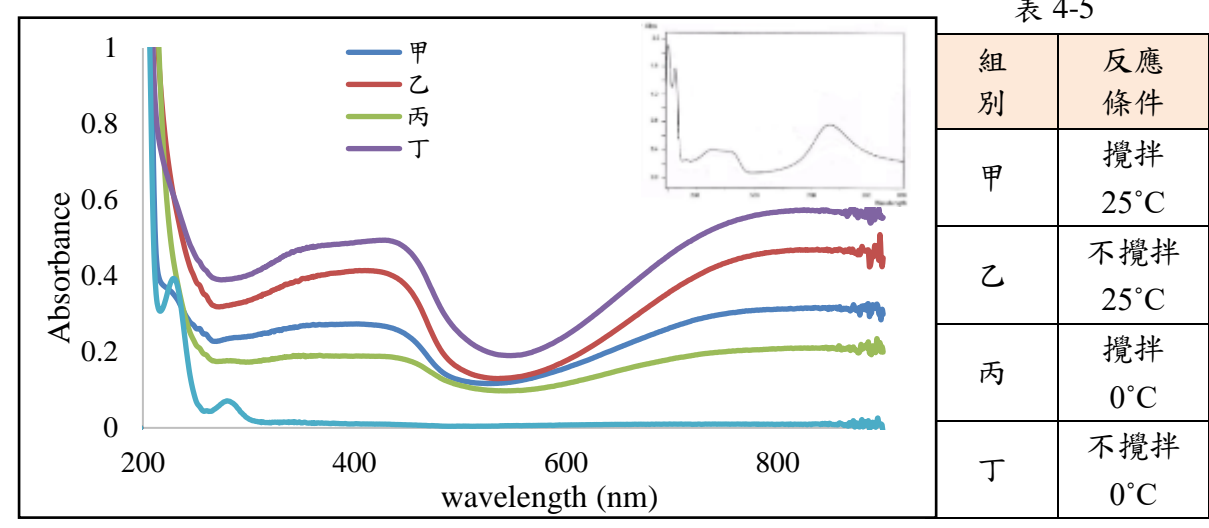


圖 4-3 聚苯胺與苯胺的吸收圖譜 (實驗結果 作者自繪) (右上為文獻[5]中聚苯胺吸收圖譜)

由圖 4-3 的吸收光譜,進行苯胺的聚合反應後,比對實驗甲~丁四組的圖譜皆與單體苯胺不同,具有顯著差異;進一步與文獻[5]的聚苯胺吸收光譜(右上插圖)比對,明顯可看出實驗四組皆具有相似的吸收圖譜,於波長 350、430 以及 810 nm 處皆有吸收峰,確認實驗成功合成聚苯胺。

2. 以 SEM 進一步確認修飾在石墨電極上的聚苯胺,進行表面形貌鑑定。

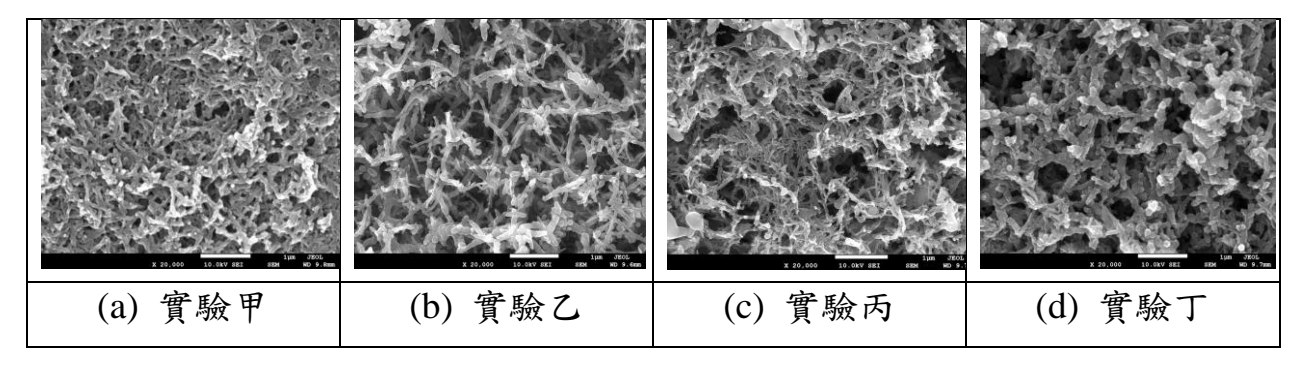


圖 4-4 不同條件下的聚苯胺纖維結構的 SEM 圖 (實驗結果 作者自攝)

上圖 4-4 的(a)~(d)依序是實驗組甲、乙、丙、丁的聚苯胺表面形貌。從 SEM 圖可以觀察到:苯胺在相同溫度下,聚合時不進行攪拌(乙、丁) 所製得的纖維較攪拌組(甲、丙)的產物來得粗枝,且具有較大孔隙,預期後續吸附、反應形成奈米金粒子時,乙、丁兩組應會有較佳的效果。

- (二) 聚苯胺-石墨電極的電化學性質
 - 1. 電極 CV 圖:將不同條件(甲~丁)反應後的聚苯胺修飾在石墨電極上;以 電化學裝置量測其循環伏安圖(CV),如圖 4-5。

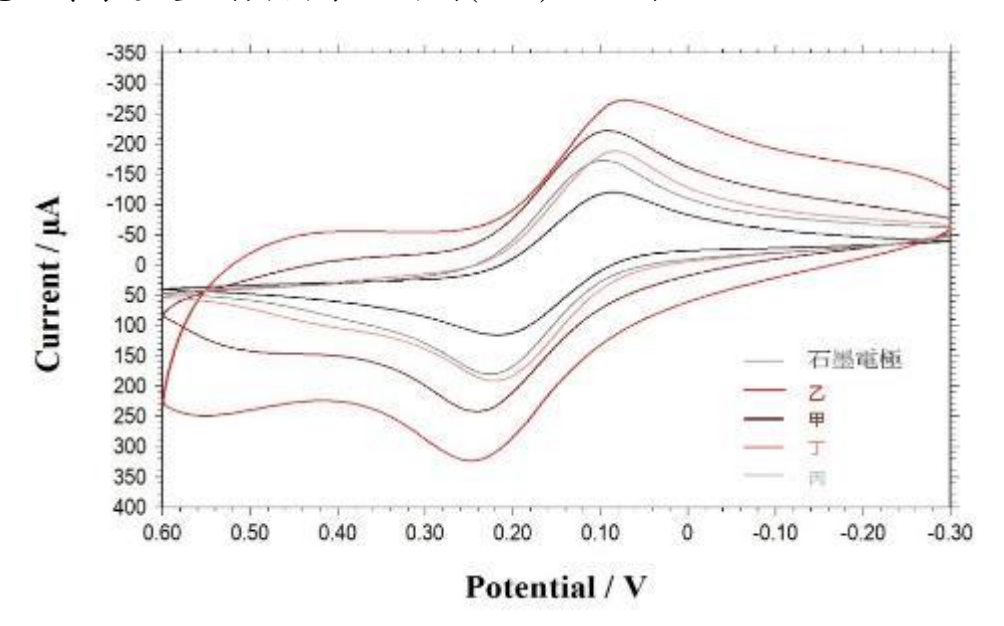


圖 4-5 聚苯胺-石墨電極與石墨電極之 CV 圖 (實驗結果 作者自繪)

2. 電極的電流、電阻:由圖 4-5 的 CV 圖,可得知各電極的氧化、還原電流值,並檢測其電阻,如圖 4-6。

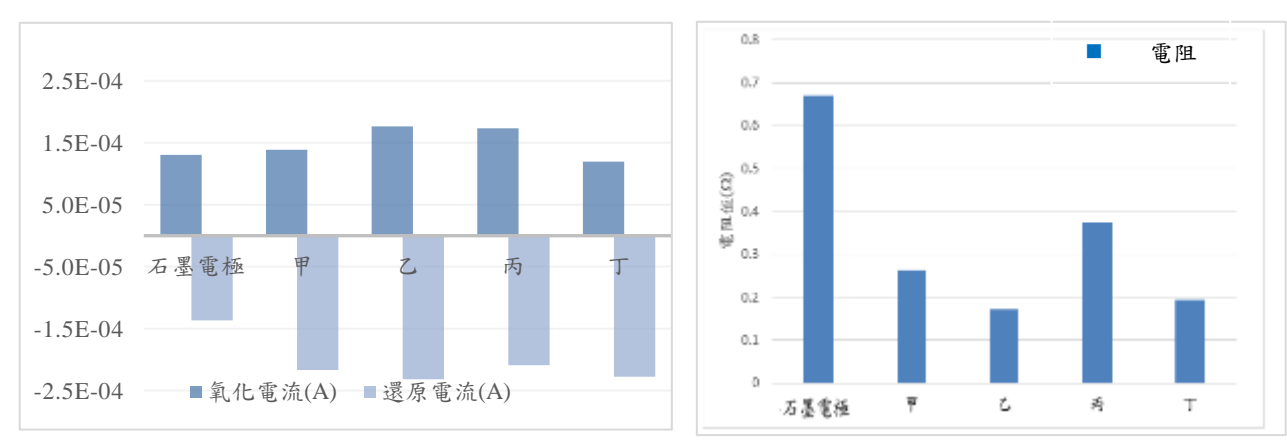


圖 4-6 聚苯胺-石墨電極、石墨電極之電流、電阻比較 (實驗結果 作者自繪)

3. 經過修飾的聚苯胺-石墨電極,其 CV 曲線具對稱性,且電流訊號明顯增大,皆優於原本的石墨電極,以乙組條件合成聚苯胺所製成的聚苯胺-石墨電極,其電流訊號最高,顯示檢測靈敏度較佳。在電流與電阻表現上,乙組電極具有最大電流、最小電阻,明顯為較佳的電化學檢測電極,後續將以實驗組乙為條件進行後續實驗。

四、 GNP@PANI 複合電極

以實驗組乙的條件製備聚苯胺,再分別以下表 4-6 條件添加 HAuCl4(aq) 於修飾電極,使其反應以製成 GNP@PANI 複合電極。

表	4-6	聚苯	胺修	飾奈	米金	之作	各件
\sim		~/^ /+·	- ハス・1ク		71 Y	. ~ 17	N 1 1

	聚苯胺溶液(mL)	HCl(mL)	HAuCl ₄ (mL)
實驗組(A)	0.2	0.55	0.25
實驗組(B)	0.4	0.35	0.25

(一) 電極的表面形貌

以 SEM 檢測各組 GNP@PANI 複合電極的表面形貌,如下圖 4-7。

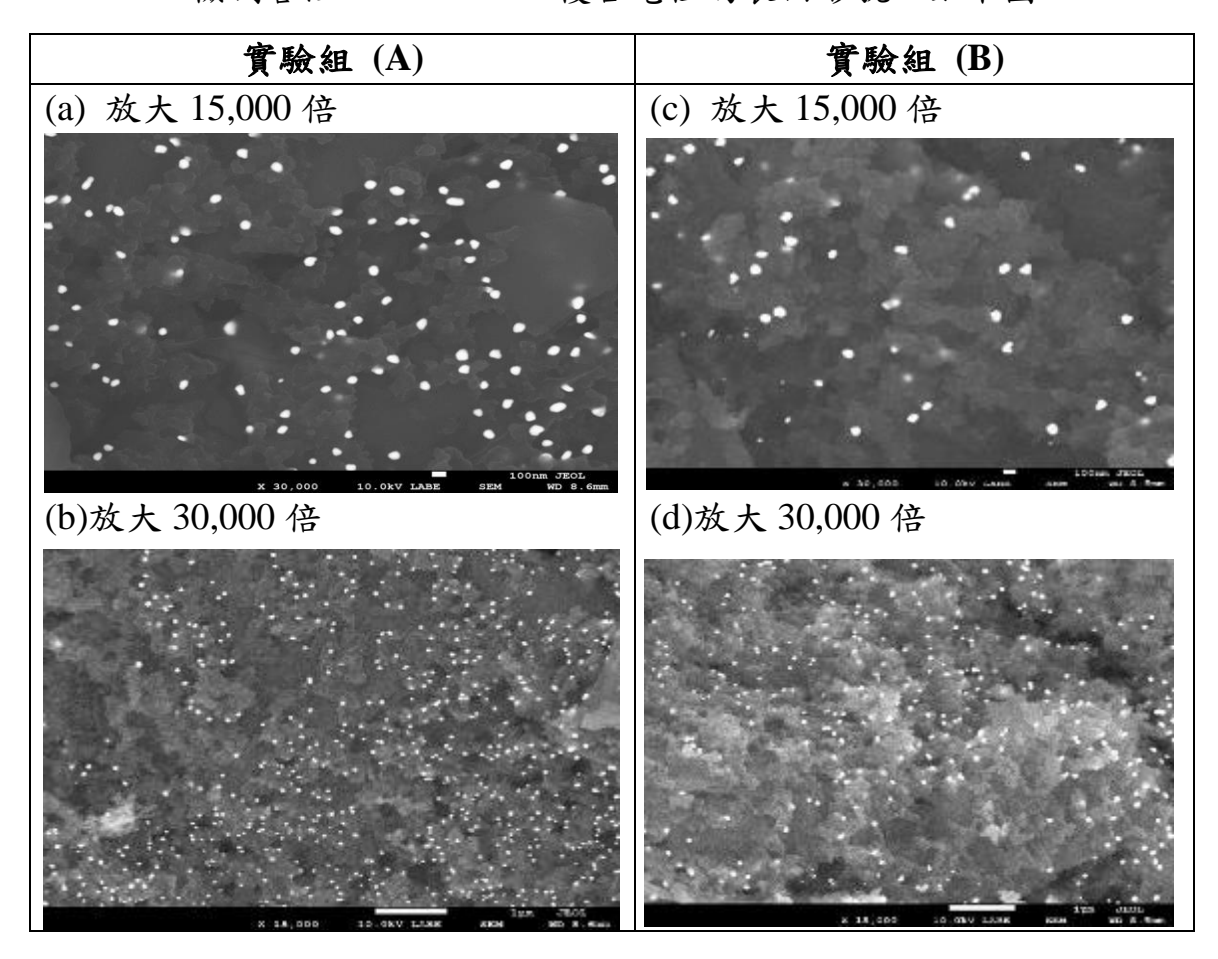


圖 4-7 各組 GNP@PANI 修飾電極在不同放大倍率下的 SEM 圖 (實驗結果 作者自攝)

上列 SEM 圖中出現的圓形亮點即為奈米金粒子,可看出在實驗組(A)中具有較多的奈米金粒子(GNP),顯示此條件下可修飾較多的 GNP。後續將再進一步檢測電極表面元素,分析其組成比例以確認之。

(二) 電極的表面元素分析

依據 SEM 檢測的表面形貌,選擇圓形亮點較多的實驗組(A)之 GNP@PANI 電極進行表面元素分析。如下圖所示,圖中(a)為電極表面形貌的 SEM 圖,比對聚苯胺的 SEM 圖,此電極上明顯出現較亮的球狀物質;(b)圖中的紅點顯示為金元素;再由(c)圖的表面元素成分比例,可確認成功形成奈米金且修飾在聚苯胺-石墨電極的表面。

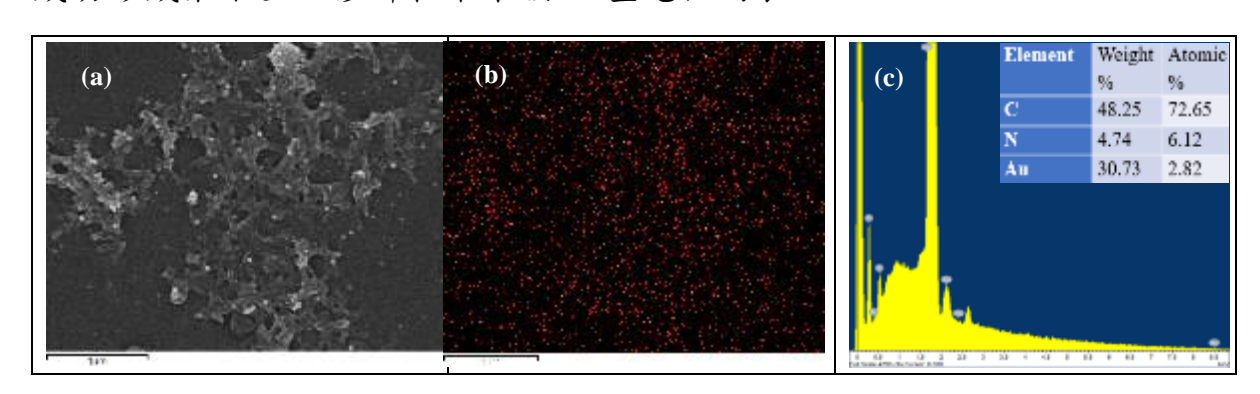


圖 4-8 實驗組(A)之表面元素比例分析 (實驗結果 作者自攝、繪)

(三) 電極的電化學性能

1. 確認 GNP@PANI 電極之檢測靈敏性

實驗過程進行化學修飾,為確認複合電極的檢測靈敏性以便後續接上探針分子,因此進行電極性能檢測。如下圖 4-9 為 GNP@PANI 複合電極、聚苯胺-石墨電極以及石墨電極的 CV 疊圖。

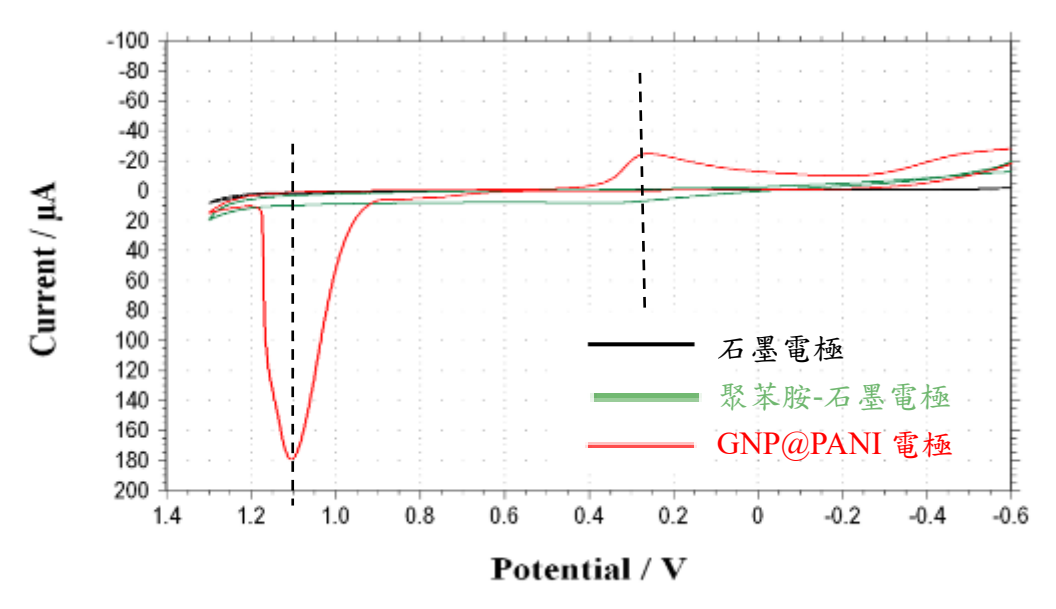


圖 4-9 三種不同電極的之 CV 圖比較 (實驗結果 作者自繪)

由圖 4-9 可看出,GNP@PANI 修飾電極的氧化還原峰電流值,明顯大於其他兩者。在電位 1.1 V 處為奈米金粒子所表現的氧化峰,0.25 V 處則為奈米金粒子的還原訊號峰。同樣量測電極的氧化、還原電流,可確認 GNP@PANI 修飾電極較其他兩種電極為佳。

2. 確認 GNP@PANI 電極之穩定度

圖 4-10 為 GNP@PANI 複合電極在製備完成的當天、保存三天以及七天後,分別再次進行 CV 測試的結果。由圖中可見經過保存後,電極仍表現出接近的電流訊號大小,顯示此自製合成的電極至少可穩定存放一週。

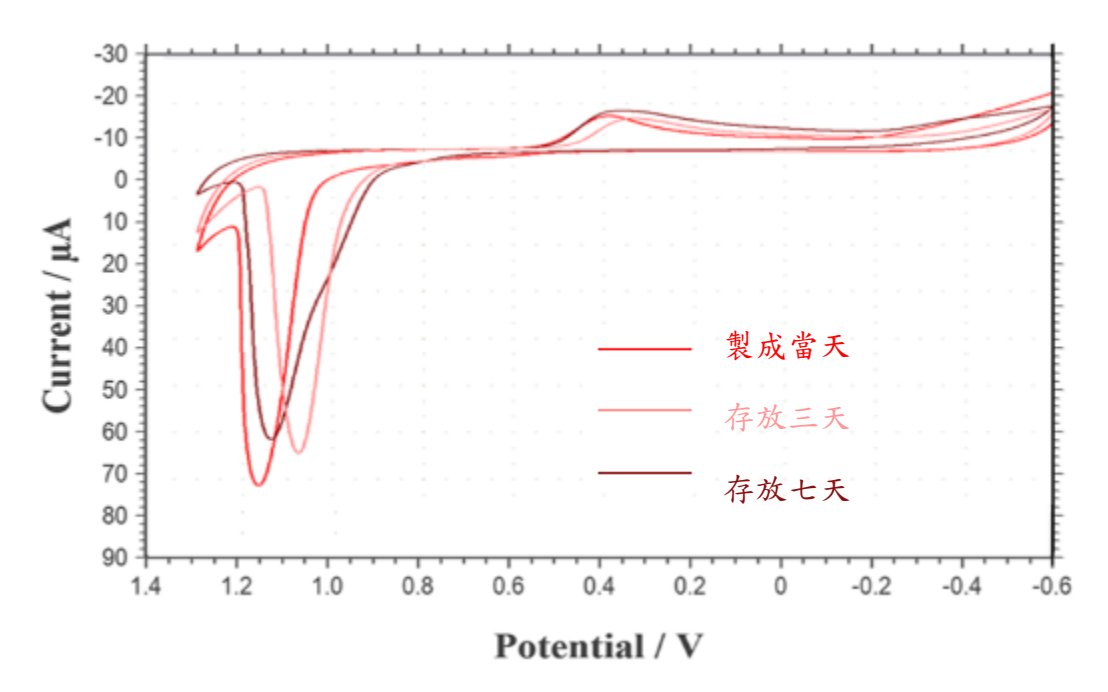


圖 4-10 存放時間不同電極之 CV 圖比較 (實驗結果 作者自繪)

五、 DNA probe 電極

- (一) 檢量線與偵測極限
 - 1. 將 probe(7-1)以硫-金共價鍵(~S—Au)連接於 GNP@PANI 修飾電極上,進行第一次 SWV,得到電流訊號值 I_0 。再與目標 miR-155 反應後,進行第二次 SWV,量測電流訊號值 I_n 。
 - 2. 藉由電流降低程度來了解抓取 miR-155 比率。計算方式如下式,其中 I(%)表示電流降低率,意即 DNA probe 電極與 miR-155 的雜合率。表 4-7 呈現 miR-155 在不同濃度下,檢測電極抓取 miR-155 的雜合率(I值)。

$$I(\%) = \frac{|I_0 - I_n|}{I_0} \times 100\%$$

•		, ,		_ 、 / .	
組別 (n)	1	2	3	4	5
[miR-155] (nM)	100	20	10	1.0	0.1
I (%)	22.9	19.6	18.1	14.4	10.9

表 4-7 不同濃度 miR-155 實驗組與其對應 I(%)值

3. 藉由 log[miR-155] 對 I 作圖,得到下圖 4-11 的檢量線:

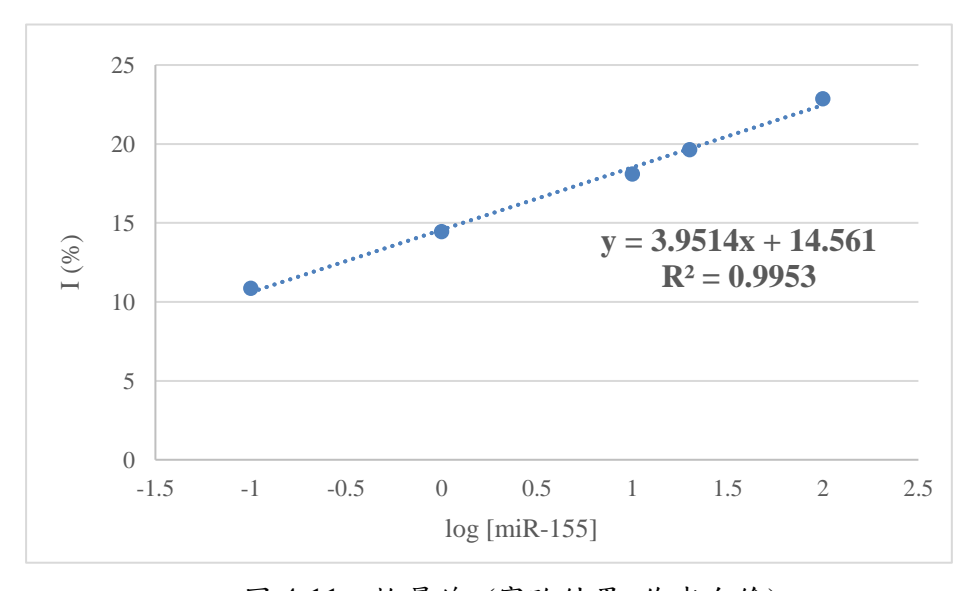


圖 4-11 檢量線 (實驗結果 作者自繪)

本實驗方法建立的檢量線,其 R^2 值達 0.9953,具有良好線性關係;且 [miR-155] 低於 0.1nM 即無檢測訊號,因此檢測極限為 $0.1\,nM$ 。

(二) 電極檢測的專一性

1. 不同種類 miRNA 的檢測

以下表 4-8 反應條件分別配製 miR-155 與它種 miRNA 溶液,實驗設計其他種類的 miRNA 濃度皆比目標 miR-155 高了 5 倍,藉此瞭解電極的專一性與靈敏度。

組別	[miR-155]	[miR-210]	[miR-93]	[miR-182]	Blank
miRNA 種類	miR-155	miR-210	miR-93	miR-182	
[miRNA] (nM)	100	500	500	500	0
I (%)	22.9	17.9	17.7	18.3	17.9

表 4-8 不同種類 miRNA 之實驗組與其對應 I (%)值

測量第一次 SWV 之電流值,以及第二次 SWV 電流值,再進一步計算其雜合狀況及雜合率(I值),以各組 I 值進行作圖、比較,如下圖 4-12。

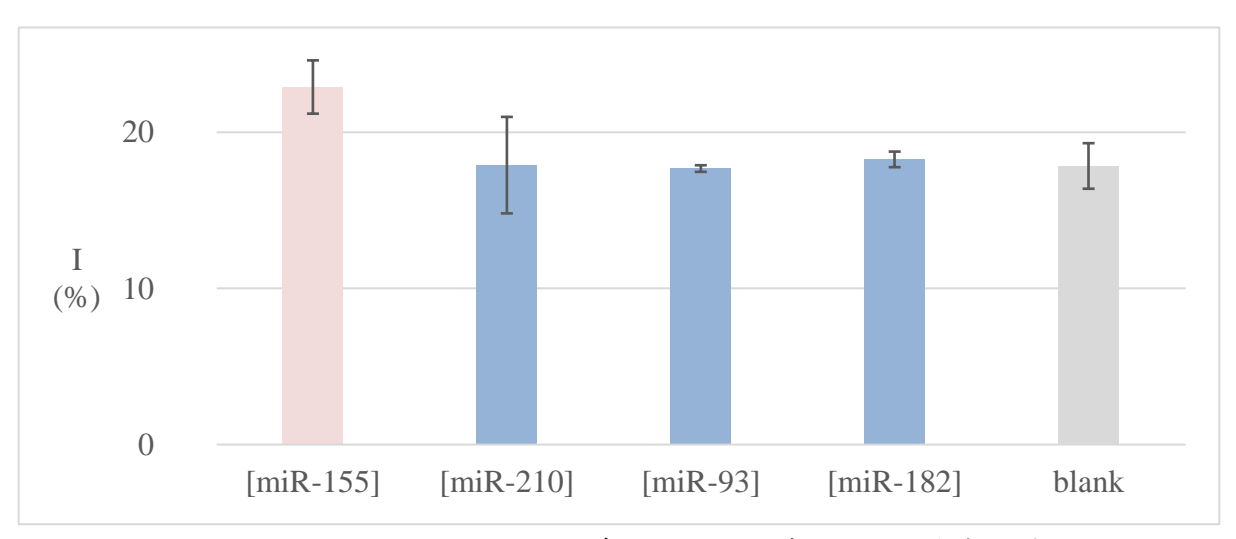


圖 4-12 不同種類 miRNA 專一性測試 (實驗結果 作者自繪)

- (1) 由圖 4-12 觀察得知:自製 DNA probe 電極檢測 miR-155 的訊號數值 最為明顯;反之 miR-210、miR-93 以及 miR-182 此三組之 I 值皆小於 miR-155,且與空白組 (Blank)幾乎相同。
- (2) 即使其他非目標 miRNA 的濃度比目標 miR-155 分子高達 5 倍的情况下,這些非目標 miRNA 的 I 值仍與 Blank 組相近,顯示此電極對於 miR-155 具有專一性,不會抓取其他 miRNA 分子。

(3) 在此專一性試驗中,選擇不同種類的 miRNA 分子。比較這些 miRNA 分子的序列,如下表 4-9,其中以 miR-182 與目標 miR-155 的序列最為相近,且上述實驗結果也可發現:miR-182 的 I(%)值明顯較其他非目標 miRNA 分子的訊號為大,因此進一步確認 miR-182 與目標 miR-155 混合、掺雜時,此自製檢測電極之靈敏度。

	miRNA	序列	與 miR-155
			相同的鹼基數
	miR-155	UUAAUGCUAAUCGUGAUAGGGGU	/
	miR-210	AGCCCCUGCCCACCGCACACUG	4
	miR-93	CAAAGUGCUGUUCGUGCAGGUAG	6
Ī	miR-182	UGGCAAUGGUAGAACUCACACU	7

表 4-9 不同種類之 miRNA 分子序列

2. 混合摻雜 miR-182 之測試

以表 4-10 條件配製 miR-155 與 miR-182 之混合溶液,進行摻雜測試。同樣進一步計算其雜合率,再以各組 I 值與條件作圖,如圖 4-13。

組別	1	1	11	四
[miR-155] (nM)	100	50	0	0
[miR-182] (nM)	0	50	100	0
I (%)	22.9	21.3	9.88	9.66

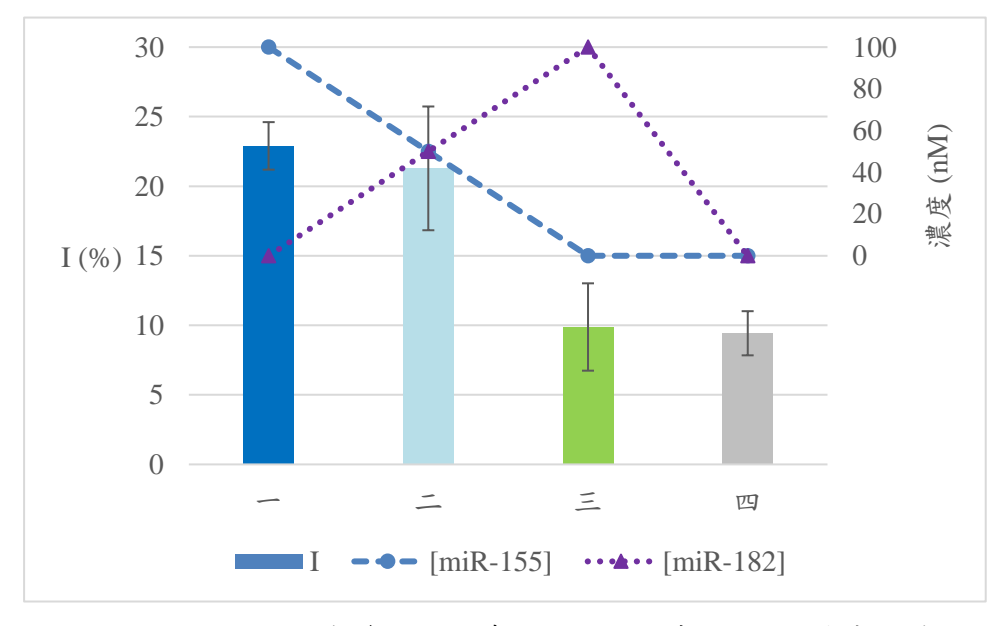


圖 4-13 miR-182 混合摻雜測試專一性測試 (實驗結果 作者自繪)

- (1) 從圖 4-13 可知:實驗一~三組皆為相同總濃度,僅依據其中 miR-155 的含量,檢測之電流值明顯隨著 miR-155 濃度減少而降低,顯 示此 DNA probe 電極檢測不受 miR-182 濃度影響
- (2) 實驗中第四組為空白對照組,其檢測訊號 (I值) 與僅有 miR-182 的第三組幾乎相同,顯示此 DNA probe 電極不會抓取 miR-182。
- (3) 表 4-10 中的第二組,即[miR155]=50 nM,[miR-182] = 50 nM 的 I 值 為 0.213 = 21.3%;運用檢量線進行計算:

$$\mathbb{P}\left[\text{miR-155}\right]=10^{1.705}=50.75\ (nM)$$

計算此組的回收率為 101.5%,顯示此 DNA probe 具有相當高的準確性。

綜合以上試驗測試,實驗結果證明:本研究自製的 DNA probe 電極不 受其他 miRNA 分子影響,抓取 miR-155 不但具有專一性且回收率極高。

(三) 人工尿液掺雜試驗

分別以下表 4-11 條件配製溶液後進行反應。表中的 pool 是指含有 [miR-210]、[miR-182]、[miR-93]各 100 nM 的混合溶液。同樣進行實驗測量 電流值後,再進一步計算其雜合狀況及雜合率 (I值),如圖 4-14。

組別	1	2	3	4	blank
miRNA	miR-155 (100 nM)	pool	miR-155 (100 nM)	pool	
背景環境	HEPES	HEPES	Artificial urine	Artificial urine	HEPES
I (%)	22.9	15.8	23.0	15.9	15.1

表 4-11 人工尿液掺雜試驗各實驗組與其對應 I 值

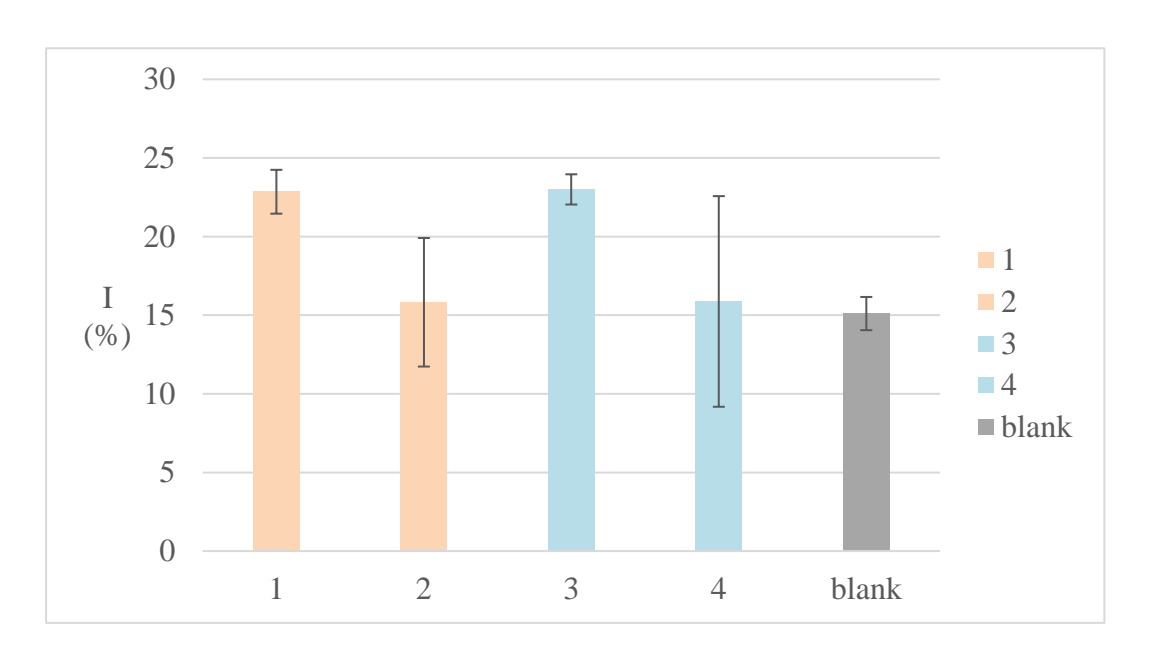


圖 4-14 人工尿液掺雜試驗 I 值結果 (實驗結果 作者自繪)

- 1. 在此實驗中,實驗 1、2 組為背景環境 HEPES buffer,此設計可視為不具生物基質干擾的標準樣品。而實驗 3、4 組的背景為人工尿液,此可設計作為模擬實際採樣之樣品。
- 2. 比較添加目標 miR-155 的 1、3 組與非目標 miRNA 之 pool 的 2、4 組, 兩者的 I 值明顯具有差異。不含 miR-155 的 pool (2、4 組)其 I 值 與空白組(blank)相近,可知在混合不同種類的 miRNA 之情況下,此 探針電極的檢測效能仍可不受影響。
- 3. 比較不同背景環境下,檢測目標 miR-155 的結果:由第1、3 組這兩組的數值,以組1作為沒有基質干擾的理論基礎,來評估模擬真實樣之組3的檢測差異,僅約為0.4%,顯示此自製探針電極可應用於具有生物基質之真實樣品的檢測;此外,實驗第2、4 兩組的實驗結果同樣接近,顯示電極檢測的專一性亦不受生物基質環境所影響。
- 4. 由此仿真實樣品的實驗證明:本研究所設計開發的 DNA probe 電極抓取目標 miR-155 專一性極佳,除了不受他種 miRNA 之干擾,亦不受生物基質所影響,具有可應用於真實樣品的潛力。

六、討論

(一)設計 DNA probe 分子

1. 設計概念說明

由於 DNA probe 的構型為髮夾彎,在抓取 miR-155 時,其構型的伸展 會受到髮夾彎鹼基配對數目的影響,因此本研究設計三款 DNA probe。

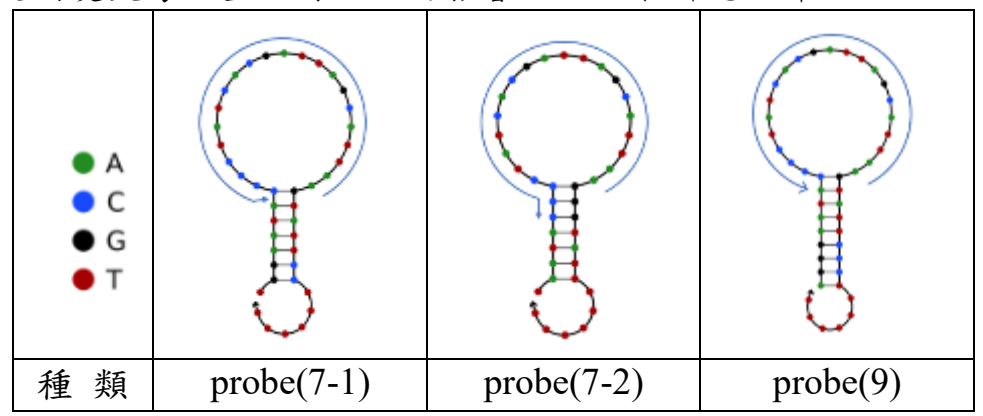


圖 4-15 三款自創設計的 DNA probe 結構示意圖 (自繪)

- 2. 上圖 4-15 中,藍色箭頭表示 DNA probe 分子抓取 miR-155 對應到序列 的鹼基順序。
- 3. probe(7-1)與 probe(7-2)的差異在於"髮夾環"上裸露的鹼基個數; probe(7-2)的裸露的鹼基個數較少,預期 probe(7-2) 雜合 miR-155 時, 分子構形會較難打開。
- 4. probe(9)與 probe(7-1)、probe(7-2)的差異為"髮夾莖部"的鹼基個數,因 其個數較多,預期其基部鍵結數增加會使阻力明顯增大,其構型會較 前兩者更難打開。

(二)電泳分析結果

- 1. 從電泳分析實驗結果證實: probe(7-1)抓取 miR-155 的能力最佳。由於髮夾環與莖部連接處具有轉折彎處,以分子結構的穩定性而言,此位置較不穩定、能量高,且髮夾環內的鹼基因其結構體積必定具有立障,因此probe(7-1)的開展效能較佳。
- 2. 比較電泳分析結果, probe(7-2)與 probe(9)的雜合股螢光強度以 probe(7-2)較佳;從表 4-2 計算出的探針效能也可確認 probe(7-2)較佳,與設計初期的預測相符合。

- (三)本實驗採用電化學檢測法,為提高精確度與靈敏度,最重要的是電極的 效能與穩定度。
 - 1. 實驗採用導電性聚苯胺先修飾在石墨電極上。本研究製備聚苯胺的反應是在酸性環境下,利用苯胺鹽類與過硫酸銨進行氧化聚合反應,反應式如下。反應過程中,苯胺因過硫酸銨氧化劑的存在先被氧化,隨即發生聚合反應;由於產物在酸性環境中,其結構上的N原子會被質子化,因此沉澱後可藉由過濾得到。

圖 4-16 苯胺的聚合過程與反應式 (自繪)

2. 本實驗採用的網版印刷電極內為氧化石墨,因此會先經過 NaOH(aq)處理;除了清潔電極外,還可將表面多種含氧官能基團,如經基(-OH)、羧基(-COOH)或環氧基(-O-)進行活化。當 PANI 修飾上石墨電極,這些含氧基團能與 PANI 結構中的-NH 形成氫鍵,或是與 N 原子的孤電子對同樣生成氫鍵作用力,如圖 4-17 所示。這個較強作用力使 PANI 緊密附著於石墨電極上,且於石墨層與層之間穩定存在,形成 聚苯胺-石墨電極。

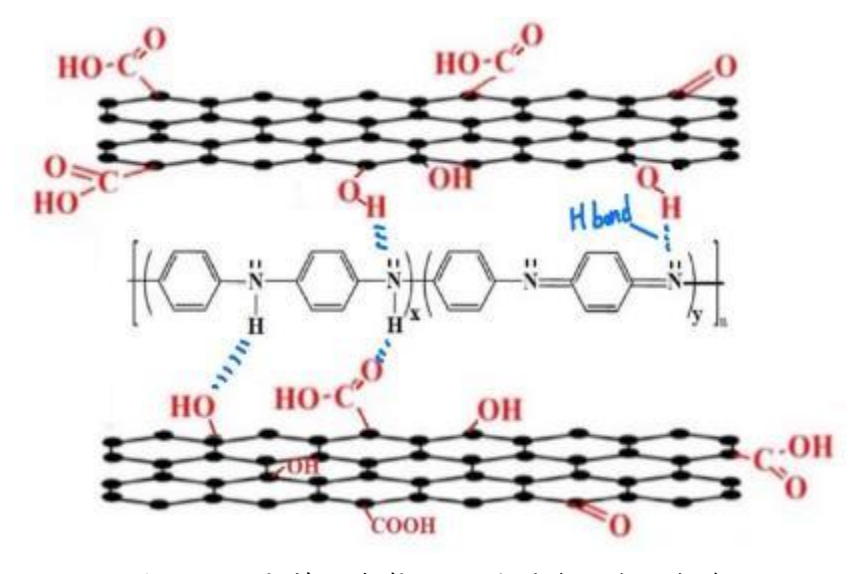


圖 4-17 聚苯胺與氧化石墨間作用力 (自繪)

- 3. 利用聚苯胺的還原力可將四氯金酸還原成金奈米粒子(GNP),使 GNP 可緊密吸附於聚苯胺材料上,形成 GNP@PANI 複合電極。
- (四)實驗檢測的訊號是利用電極上亞甲藍分子的氧化還原反應。亞甲藍基團的氧化態與還原態如圖 4-18 所示;在本實驗中,亞甲藍基團最初處於還原態,施加電壓後可檢測到此分子的氧化電流;由於這個過程具有可逆性,因此亞甲藍可做為檢測指標。
 - 1. 為了較好的量化檢測結果,電化學檢測訊號是利用 DNA probe 電極上,亞甲藍分子距離電極表面的遠近所產生的氧化還原訊號大小。

圖 4-18 亞甲藍分子的氧化與還原 (自繪)

- 2. 將 DNA probe 分子的 5'端修飾具還原活性的亞甲藍分子;為穩定接在 GNP@PANI 修飾電極上,在 DNA probe 分子 3'端修飾硫醇基團 (-SH),使探針分子可因硫一金 (~S—Au) 共價鍵的鍵結而穩定地連接在修飾電極上,如圖 4-19 示意。
- 3. 進行檢測時, DNA probe 若與目標物 miR-155 結合, 此設計分子的 構型會發生變化,改變亞甲藍分子與電極的距離, 進而產生電化學 訊號改變。圖 4-20 為製作完成的 DNA probe 電極

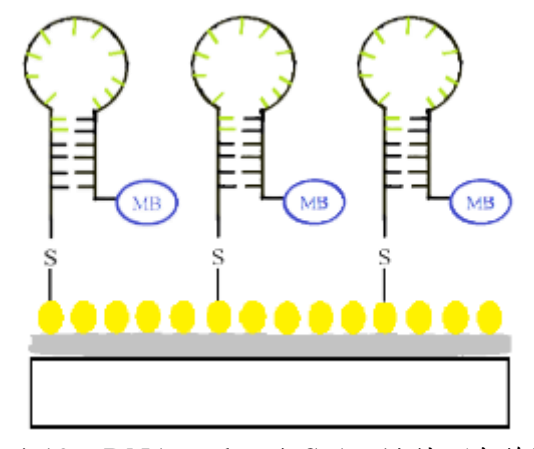


圖 4-19 DNA probe 的 S-Au 鍵結 (自繪)



圖 4-20 DNA probe 電極 (作者自攝)

肆、結論與應用

本研究運用生物鹼基配對原理,結合化學修飾分子以及電化學檢測技術, 成功地自製合成出新式、便捷、準確且具有選擇性的檢測 miRNA 裝置。

運用具導電性的聚苯胺(PANI)高分子先吸附於氧化石墨電極上,再利用其結構上的胺基(-NH₂)將 HAuCl₄(aq)還原,使金奈米粒子(GNP)連接修飾於電極表面,形成 GNP@PANI 修飾電極。利用奈米金的金原子(Au)與硫醇(-SH)間極佳的鍵結能力,將自製設計的 DNA probe 接合至GNP@PANI 電極上,使其成為 DNA 分子電極。此過程運用材料的化學性質來組裝、製作檢測電極,不但便利效率佳,且成本低易操作。

目前實驗已成功從自設計的三款探針確認 probe (7-1)對 miR-155 的抓取能力最佳,且與修飾成功的 GNP@PANI 複合電極組合成完整的 DNA 分子電極。經由實驗已確立此檢測裝置具有良好的檢量關係,其偵測極限可達[miR-155]為 0.1 nM;此外,也實驗確認此 DNA 分子電極對於 miR-155 具有極佳的專一性與靈敏度,其回收率可達 101.5%。在檢測實際樣品的應用方面,研究採用具有生物基質的人工尿液,實驗確知此 DNA 分子電極的檢測不受基質背景影響,檢測結果僅相差 0.4%,具有應用於檢測真實樣品的潛力。

在此目標 miRNA 的檢測、測試成功之後,期待後續將選擇其他同樣具有 醫療評估標準的 miRNA 分子,同樣根據本研究的實驗設計,進行客製化的 探針研發、修飾與組裝,發展其泛用性,成為新一代非侵入性的檢測方法。

伍、 參考資料

- SSu-Chia Chen, Kuan-Ting Chen, Amily Fang-Ju Jo.(2021). Polydopamine-gold composite-based electrochemical biosensor using dual-amplification strategy for detecting pancreatic cancer-associated microRNA. Biosensors and Bioelectronics, 173, 1-4.
- Zhe Yang, Yichao Wu, Jianqiang Wang, Bin Cao, and Chuyang Y.
 Tang(2016). In Situ Reduction of Silver by Polydopamine: A Novel
 Antimicrobial Modification of a Thin-Film Composite Polyamide Membrane.
 Environmental Science & Technology Article, 50, 9543–9550.
- 四、 Ju-Won Jeon, Se Ra Kwon and Jodie L.Lutkenhaus. (2015). Polyaniline nanofiber/electrochemically reduced graphene oxide layer-by-layer electrodes for electrochemical energy. Journal of Materials Chemistry A,3,3757-3767.
- 五、 Bernhard Wessling.(2010). New Insight into Organic Metal Polyaniline Morphology and Structure. Polymers, 2, 786-798.
- ☆ ➤ Faraoni, I., Antonetti, Francesca Romana, Cardone, John, & Bonmassar, E. (2006). MiR-155 Gene: A Typical Multifunctional MicroRNA. Biochimica et Biophysica Acta, 1792(6), 497–505.
- + Notti, V., Cannistraro, S., Bizzarri, A.R.(2022). Interaction of miR-155 with Human Serum Albumin: An Atomic Force Spectroscopy, Fluorescence, FRET, and Computational Modelling Evidence. Int. J. Mol. Sci, 23(18), 10728.
- An Electrochemical DNA Biosensor for the Detection of Mycobacterium

- Tuberculosis, Based on Signal Amplification of Graphene and a Gold Nanoparticle–Polyaniline Nanocomposite. Analyst, 139(21), 5460–5465.
- 九、 Zhang, X., Zhang, Y., Liu, X., Fang, A., Wang, J., Yang, Y., Wang, L., Du, L., & Wang, C. (2016). Direct quantitative detection for cell-free miR-155 in urine: a potential role in diagnosis and prognosis for non-muscle invasive bladder cancer. Oncotarget, 7(3), 3255–3266.
- + \ Wang, G., Chan, E. S., Kwan, B. C., Li, P. K., Yip, S. K., Szeto, C. C., & Ng, C. F. (2012). Expression of microRNAs in the urine of patients with bladder cancer. Clinical genitourinary cancer, 10(2), 106–113.
- +- Nowe, A. A., White, R. J., Bonham, A. J., & Plaxco, K. W. (2011). Fabrication of electrochemical-DNA biosensors for the reagentless detection of nucleic acids, proteins and small molecules. Journal of visualized experiments: JoVE, (52), 2922.

【評語】030024

設計可抓取目標 miR-155 的 DNA 分子探針,透過化學合成與修飾將此探針接合在奈米金-聚苯胺(GNP@PANI)電極上,組裝出具靈敏度與特異性的 DNA 分子電極。實驗論述清楚,然實驗設計較缺新穎性。此外,探討背景干擾時需使用適當的基質與控制組比較,以應用於含生物基質的尿液樣本。